

Pracownia Mikroskopii Elektronowej i Fluorescencyjnej. Zakład Anatomii Patologicznej.
Instytut Patologii Klinicznej. Akademia Medyczna w Lublinie
Kierownik Pracowni: prof. dr hab. Daniel Chibowski

Daniel CHIBOWSKI, Zofia SIEZIENIEWSKA,
Lech BANACH, Barbara NIEDZIÓŁKA

Ocena przydatności metod morfologicznego wykrywania HB_sAg i HB_cAg w tkance wątroby

Оценка пригодности морфологического метода выявления в печени HB_sAg
и HB_cAg

Estimation of Usefulness of the Methods of Morphological Discovering of HB_sAg
and HB_cAg in Liver Tissue

Ocena obecności komponentów antygenowych wirusa *hepatitis B* (HBV) — HB_sAg i HB_cAg nie tylko udowadnia związek przyczynowy istniejącej choroby z zakażeniem HBV, lecz może mieć także znaczenie w ocenie stopnia aktywności schorzenia (15, 16, 19). Wykazanie obecności HB_sAg i HB_cAg w wątrobie ma również znaczenie w różnicowaniu ostrych i przewlekłych zapaleń wątroby, a także pomaga w ustaleniu etiologii marskości wątroby (6, 10). Niewątpliwie dalsze badania nad występowaniem HB_sAg i HB_cAg w wątrobie w różnych postaciach ostrego i przewlekłego zakażenia HBV przyczynią się do lepszego poznania patomechanizmu tego schorzenia.

Obecność HB_sAg w wątrobie można stwierdzić bezpośrednią i pośrednią metodą immunofluorescencyjną (8, 19), oceną wiązania przeciwciał anti-HB_s, znakowanych peroksydazą w mikroskopie świetlnym i elektronowym (5, 19, 20), oraz rutynowym badaniem ultrastrukturalnym biopunktatów wątroby (14, 15, 18, 19, 20). Badania w mikroskopie elektronowym nie zawsze są możliwe do zastosowania, dlatego preferuje się ostatnio metodę immunofluorescencyjną i immunoperoksydazową dla skrawków parafinowych (1, 5, 9, 11, 15, 16, 19, 20), histochemiczną metodę orceinową Shikata (2, 5, 6, 7, 9, 10) i ocenę obecności „matowoszklitych” — *ground glass* hepatocytów w barwieniu H+E (5, 6, 7, 9, 10). Uzyskano porównywalne wyniki do barwienia orceiną po zastosowaniu metody trójbarwnej Massona (5). Metody immunofluorescencyjne wykazują wyższą czułość i specyficzność immunologiczną (5, 17), natomiast metoda orceinowa, dając efekty porównywalne, jest prosta, tania, powszechnie dostępna, pozwala na ocenę dużych fragmentów tkankowych i badania retrospektywne (5, 6, 9, 10, 17). HB_cAg można wykryć w tkan-

ce wątrobowej immunofluorescencyjnie (19), ultrastrukturalnie (14, 15, 19) oraz metodą immunoperoxydazową w mikroskopie świetlnym i elektronowym (5, 11, 17, 20). Gudat i Bianchi (3) uważają chromotropowe wybarwienie się błękitem aniliny środkowej części jądra hepatocytu za cechę świadczącą o dużej ilości HB_sAg w jądrze. Zdaniem Biczysko i wsp. (4), powiększenie jąder hepatocytów i duże ich powinowactwo do hematoksyliny stanowią wynik wzmożonej syntezy wirusowego DNA, zaś zabarwienie się części jądra eozyną świadczy o dużej ilości HB_cAg w jądrze oraz możliwości jego przechodzenia do cytoplazmy. Bazofilia okołojądrowej cytoplazmy ma wskazywać na obecność wirusowego DNA w cytoplazmie. Dane te świadczą o możliwości zastosowania skrawków barwionych H+E do oceny obecności HB_cAg.

Celem badań była porównawcza ocena specyficzności i czułości dostępnych nam metod wykrywania HB_sAg i HB_cAg w rutynowo przeprowadzanych biopunktatach (utrwalanych w formalinie i zatapianych w parafinie) z uzyskanymi obrazami ultrastrukturalnymi.

MATERIAŁ I METODY

Oceniano 25 biopunktatów wątroby, w których ultrastrukturalnie wykazano obecność HB_sAg i (lub) HB_cAg. W badanych przypadkach ustalono następujące rozpoznania histopatologiczne: w 5 przypadkach — przewlekłe stacjonarne zapalenie wątroby, w 2 przypadkach przewlekłe agresywne zapalenie wątroby, przechodzące w marskość, w 7 przypadkach — przewlekłe agresywne zapalenie wątroby, w 11 przypadkach — marskość wątroby.

Biopunktat wątroby dzielono na dwie części. Pierwszą utrwalano w formalinie zbuforowanej PBS i zatapiano w parafinie, drugą przeznaczono do badań ultrastrukturalnych. Na podstawie barwienia H+E oceniano ilość i rozmieszczenie hepatocytów o cytoplazmie *ground glass* — tzw. hepatocytów GG. Oceniano także jądra hepatocytów celem wykrycia zmian opisywanych jako znamienne dla faz replikacji HB_cAg (4). W każdym przypadku wykonano barwienie orceiną wg Shikata. Immunofluorescencyjnie badano rozmieszczenie HB_sAg i HB_cAg w 6 przypadkach. Antygeny te wykrywano w skrawkach parafinowych trawionych 1% wodnym roztworem pronazy (firmy Calbiochem) według Huang'a (cyt. za 15) oraz w skrawkach parafinowych nie poddanych trawieniu według Raya i Desmeta (11). HB_sAg i HB_cAg wykrywano bezpośrednią metodą immunofluorescencyjną, stosując przeciwciała anti-HB_s i anti-HB_c, oznakowane FITC w rozcieńczeniu 1/10 PBS.* Kontrolą ujemną dla obu metod były biopunktaty prawidłowej tkanki wątroby (nr 321—870) i alkoholowego zapalenia wątroby (nr 380—447). Preparaty kontrolne były traktowane tak jak biopunktaty badane według wymogów uprzednio podanej metodyki. W preparatach badanych i kontrolnych wykonano oprócz odczynów podstawowych następujące próby:

- 1) ocenę autofluorescencji tkanki;
- 2) test blokowania (tylko dla oceny HB_sAg z zastosowaniem natywnej końskiej surowicy anti-HB_s, nie znakowanej FITC;

* Za udostępnienie tych surowic autorzy wyrażają podziękowanie Pan Prof. Drowi n. med. Adamowi Nowosławskiemu, Kierownikowi Zakładu Immunopatologii Państwowego Zakładu Higieny w Warszawie.

3) zastąpienie znakowanych FITC surowic anty-HB_s i anty-HB_c oznakowaną FITC surowicą poliwalentną przeciwko ludzkim γ -globulinom firmy Behring.*

Preparaty fluorescencyjne były oglądane i fotografowane przy użyciu mikroskopu fluorescencyjnego Fluoval. Do badań ultrastrukturalnych skrawki wątroby utrwalono w 4% glutaraldehydzie w buforze kakodylowym (pH 7,2—7,4), odwadniano w alkoholach i zatapiano w Eponie 812. Skrawki półcienkie, grubości 1 μ m barwiono 1% błękitem metylenowym i 1% Azurem II w 1% boraksie. Próby zastosowania zmodyfikowanej metody Shikata celem wykrycia HB_sAg w eponowych skrawkach półcienkich, według Shamoto (cyt. za 14), nie dały pozytywnych rezultatów. W związku z tym do badania ultrastrukturalnego wybierano miejsca z obecnością hepatocytów GG, gdyż można je także odróżnić w skrawkach półcienkich (14, 15). Ze wszystkich preparatów półcienkich, w których podejrzewano obecność HB_cAg w jądrach hepatocytów, krojono preparaty ultracienkie i weryfikowano ultrastrukturalnie obecność HB_cAg. Skrawki ultracienkie, barwione octanem uranylu i cytrynianem ołowiu, oceniano w mikroskopie elektr. Tesla BS500.

Ze względu na dość częsty brak korelacji pomiędzy obserwowanym w preparatach półcienkich obrazem GG cytoplazmy hepatocytów stosowano w tych przypadkach ponowne krojenie preparatów półcienkich po skrojeniu skrawków ultracienkich celem dokładnego porównania topograficznego obserwowanych zmian.

WYNIKI

Obecność HB_sAg wykazano ultrastrukturalnie w 24 przypadkach, a HB_cAg — w 19 przypadkach. W 1 przypadku stwierdzono obecność tylko HB_cAg. Hepatocyty GG obserwowano w 12 przypadkach w preparatach barwionych H+E, natomiast w 20 przypadkach — w preparatach półcienkich. Łatwiej można było identyfikować hepatocyty GG w preparatach półcienkich (ryc. 2A i B) niż w preparatach parafinowych barwionych H+E (ryc. 11D). Hepatocyty GG były zwykle rozproszone pojedynczo, rzadziej tworzyły większe lub mniejsze skupienia. Występowały także sporadycznie hepatocyty, w których tylko część cytoplazmy wykazywała obraz GG (ryc. 2C).

Dodatni histochemiczny odczyn orceinowy na obecność HB_sAg wykazano w 16 biopunktach. We wszystkich przypadkach złogi HB_sAg wybarwiały się na kolor ciemnobrązowy. Jądra nie były zabarwione. Cytoplazma nie zawierająca HB_sAg miała barwę jasnobrązową. Pozytywnie wybarwiające się złogi antygeny obejmowały fragmenty bądź całą cytoplazmę hepatocytu (ryc. 1A i B), przesuając jego niewybarwione jądro na obrzeże komórki. Złogi HB_sAg wybarwione orceiną wykazywały w większych powiększeniach charakterystyczną strukturę ziarnistą (ryc. 1C). Obserwowano ponadto różnice w intensywności wybarwienia się złogów, nawet w obrębie tego samego biopunktatu (ryc. 1A).

Obecność HB_sAg w hepatocytach wykazano ultrastrukturalnie w 24

* Zob. notkę na s. 338.

przypadkach. Antygen ten występował pod postacią form kolistych o średnicy 20—22 nm i form tubularnych o tej samej średnicy i różnej długości, zazwyczaj w świetle miernie poszerzonych kanałów gładkiej sieci endoplazmatycznej (SER) — ryc. 3, 4 i 5. Hepatocyty obfitujące w HB_sAg wykazywały dość charakterystyczny obraz utrastrukturalny: w ich cytoplazmie stwierdzano liczne kanały SER, zawierające HB_sAg, nieliczne mitochondria, zmienną ilość cząstek glikogenu oraz, zwykle brzeźnie zlokalizowane, jądro. Czasem opisane zmiany dotyczyły tylko fragmentu cytoplazmy hepatocytu, a pozostała jej część, pozbawiona antygeny, wykazywała odmienny obraz ultrastrukturalny (ryc. 5), odpowiadający niekiedy daleko zaawansowanym zmianom zwyrodnieniowym. W 12 przypadkach stwierdzono niewielkie ilości HB_sAg w cytoplazmie pojedynczych hepatocytów (ryc. 6). W tych przypadkach hepatocyt zawierający HB_sAg wykazywał różne nasilenie zmian — od minimalnych do martwicy włącznie. W 7 przypadkach wykazano obecność dużej ilości HB_sAg w hepatocytach kwasochłonnych, lub balonowatych, a także w hepatocytach zmartwiczałych (ryc. 7). W 3 przypadkach z tych 7 obserwowano HB_sAg w wyrzuconych do zatoki fragmentach hepatocytu. W jednym z tych przypadków stwierdzono pozytywne wybarwienie się orceiną resztek obumarłych hepatocytów w świetle zatok wątrobowych oraz cytoplazmy komórek Browicza-Kupffera (ryc. 7). W 2 przypadkach przewlekłego agresywnego zapalenia wątroby obserwowano ogniskowe podbarwienie się orceiną błon komórkowych hepatocytów (ryc. 9A). Spostrzeżenie to potwierdzono badaniem immunofluorescencyjnym (ryc. 9B i C) W obu przypadkach, sugerowanej na podstawie barwienia orceiną lokalizacji błoniastej HB_sAg, wykazano zmiany ultrastrukturalne mogące sugerować obecność HB_sAg w obrębie nie poszerzonych przestrzeni międzykomórkowych (ryc. 10). W przestrzeni pomiędzy dwoma elektrownowo gęstymi błonami komórkowymi znajdował się homogenny materiał i wyraźne twory tubularne, przypominające średnicą i morfologią tubularne formy HB_sAg.

W badaniu immunofluorescencyjnym skrawków parafinowych potwierdzono obecność HB_sAg we wszystkich badanych przypadkach, a lokalizacja hepatocytów zawierających ten antygen była zgodna z rozmieszczeniem hepatocytów pozytywnych w barwieniu orceiną. Hepatocyty zawierające HB_sAg wykazywały żółtozieloną fluorescencję w całej cytoplazmie lub rzadziej w jej fragmencie (ryc. 8A). Fluoryzujące hepatocyty były rozproszone pojedynczo albo tworzyły mniejsze lub większe skupienia. W 2 przypadkach obserwowano niewielką fluorescencję błon hepatocytów nie tylko od strony przestrzeni Dissego, lecz także przestrzeni międzykomórkowych. Nie udało się natomiast wykazać w żadnym z badanych przypadków obrazów tzw. drobnoziarnistej fluorescencji

HB_sAg. Porównanie obu zastosowanych metod immunofluorescencyjnych dla skrawków parafinowych z użyciem pronazy (ryc. 8A) i bez trawienia pronazą (ryc. 8B) przemawia za celowością jej stosowania w tych przypadkach. Wstępne trawienie skrawków eliminuje prawie całkowicie autofluorescencję tkanki i wzmacnia intensywność specyficznej fluorescencji. Fluorescencję błon komórkowych hepatocytu obserwowano jedynie w skrawkach trawionych pronazą. Zastosowanie, zamiast surowicy anti-HB_s znakowanej FITC, surowicy poliwalentnej znakowanej FITC przeciwko ludzkim γ -globulinom wykazało brak fluorescencji hepatocytów, które topograficznie odpowiadałyby hepatocytom z obecnością fluorescencji specyficznej dla HB_sAg. Podobne wyniki uzyskano w zastosowanym teście blokowania. Nie uzyskano dodatniego odczynu immunofluorescencyjnego w obu przypadkach kontrolnych po zastosowaniu oznakowanej surowicy anti-HB_s oraz poliwalentnej surowicy przeciwko ludzkim γ -globulinom.

Na podstawie badania seryjnych skrawków, barwionych H+E i orceiną, wykazano, że zwykle więcej hepatocytów w biopunkcie barwi się orceiną niż posiada obraz typowy dla hepatocytów GG. Rzadziej obserwowano sytuację odwrotną, tj. obecność typowych hepatocytów GG w miejscach nie wybarwiających się orceiną. Nie zawsze w preparatach ultracienkich, krojonych z miejsc z obecnością hepatocytów GG, spostrzegano HB_sAg, a raczej tylko wyjątkowo była obserwowana zbieżność tych dwu faktów. W hepatocytach GG wybranych z preparatów półcienkich wykazano ultrastrukturalnie proliferację i poszerzenie kanałów SER, które zajmowały prawie całą cytoplazmę, powodując trudność odróżnienia hepatocytu zawierającego HB_sAg od typowego hepatocytu GG w preparatach półcienkich.

Żadną z zastosowanych metod immunofluorescencyjnych nie wykryto HB_cAg, pomimo potwierdzenia w tych przypadkach jego obecności ultrastrukturalnie. Wprawdzie w skrawkach trawionych pronazą obserwowano w jednym przypadku bardzo słabą fluorescencję jąder hepatocytów po zastosowaniu przeciwciał anti-HB_c oznakowanych FITC przy braku jądrowej fluorescencji z oznakowaną FITC surowicą poliwalentną przeciwko ludzkim γ -globulinom, lecz nie ma pewności, czy ten słaby odczyn nie jest artefaktem.

Zmiany w jądrach hepatocytów, obserwowane w mikroskopie świetlnym, takie jak: obecność hiperchromatycznych jąder (ryc. 11B) oraz jąder z obecnością nie wybarwionych lub słabo podbarwionych eozyną wakuoli w preparatach barwionych H+E, a także jąder ze zmniejszoną ilością heterochromatyny oraz tzw. „jąder opustoszonych” w eponowych preparatach półcienkich (ryc. 11A), są dość charakterystyczne dla obecności HB_cAg, lecz nie patognomoniczne. Stwierdzono bowiem liczne „pu-

ste" wakuole w jądrach hepatocytów w preparatach półcienkich, a w krojonych z tych miejsc skrawkach ultracienkich obserwowano tylko pojedyncze cząstki HB_eAg w jądrach. Spostrzegano także brak zmian jądrowych w preparatach półcienkich i barwionych H+E oraz obecność czasem dużej ilości kolistych, 27 nm średnicy, cząstek HB_eAg w jądrach hepatocytów w badaniu ultrastrukturalnym (ryc. 12). Potwierdzono obecność dużej ilości cząstek HB_eAg jedynie w jądrach, które w preparatach półcienkich wykazywały obecność mniejszych i większych wakuoli, wybarwiających się podobnie jak cytoplazma hepatocytów GG (ryc. 11C i D).

DYSKUSJA

Na podstawie badań ultrastrukturalnych i metod możliwych do zastosowania na skrawkach parafinowych: metody orceinowej według Shikata oraz bezpośredniej metody immunofluorescencyjnej oceniano obecność HB_sAg i HB_eAg. Posługiwano się w tym celu również rutynowym barwieniem H+E.

Niektóre doniesienia wykluczają możliwość wykrycia HB_eAg w oparciu o ocenę preparatu barwionego H+E (5, 11, 17, 19, 20), inne jednak sugerują istnienie takich możliwości (3, 4). Bianchi i Gudat (3) uważają, że zmienna barwliwość chromatyny jąder komórkowych oraz kwasochłonne podbarwienie się jądra w strefie przylegającej do jąderka mogą wiązać się z akumulacją HB_eAg, lecz nie uznają tych parametrów za cechę diagnostyczną. Wcześniej Huang i wsp. (cyt. za 5) udowodnili, na podstawie badań w mikroskopie świetlnym i elektronowym, że stwierdzane w barwieniu H+E kwasochłonne ziarniste wtręty, przemieszczające chromatynę w jądrze hepatocytu, występują w jądrach hepatocytów z dużą ilością HB_eAg. Obraz jąder komórkowych w preparatach barwionych H+E oraz w eponowych skrawkach półcienkich, według Biczyskowej i wsp. (4), sugeruje korelację między fazami replikacji HB_eAg i wyglądem jąder hepatocytów w mikroskopie świetlnym. Mansurow i wsp. (cyt. za 14), uważają obecność wewnątrzjądrowych, o nieregularnym kształcie, wakuoli, intensywnie eozynofilnych i drobnoziarnistych lub przypominających cytoplazmę hepatocytów GG, za cechę diagnostyczną dla obecności HB_eAg w tych jądrach.

Dane, uzyskane w oparciu o analizę badanego materiału, wskazują, że hiperchromazja jąder, wakuole wewnątrzjądrowe nie wybarwiają się, podbarwienie się eozyną karioplazmy, a także obecność tzw. „jąder opustoszonych” nie są cechami specyficznymi dla obecności HB_eAg, a wartość diagnostyczna tych parametrów przy wykrywaniu HB_eAg powinna być poddana bardziej wnikliwej analizie. Dużą ilość HB_eAg stwier-

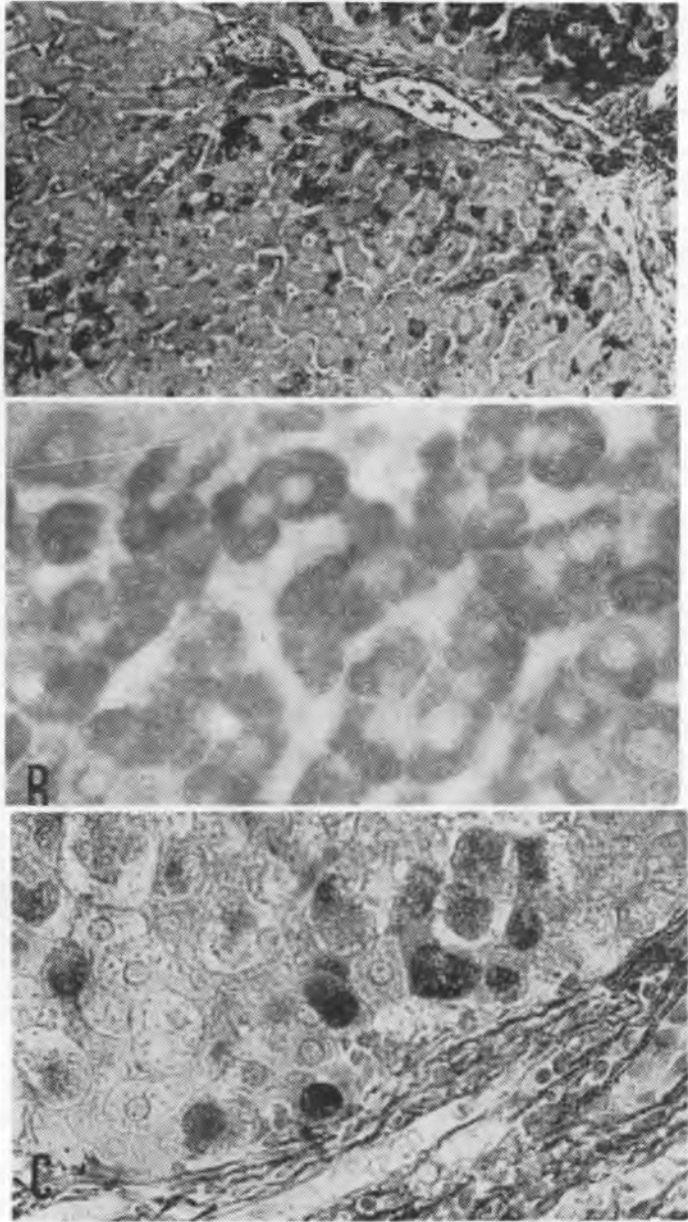
dzaliśmy jedynie w jądrach hepatocytów, które w preparatach półciennych wykazywały obecność różnej wielkości wakuoli, wybarwiających się podobnie jak cytoplazma hepatocytów GG. Nie uzyskano jednak potwierdzenia obecności HB_cAg w tkance wątrobowej w oparciu o metody bezpośredniego odczynu fluorescencyjnego w skrawkach parafinowych, pomimo wielu danych o pozytywnych rezultatach uzyskiwanych tymi metodami (11, 17, 19). Brak pozytywnego odczynu immunofluorescencyjnego w jądrach hepatocytów ze znakowaną FITC poliwalentną surowicą przeciwko ludzkim γ -globulinom wyklucza istnienie kompleksów immunologicznych HB_cAg—IgG—komplement (12), których obecność umożliwiałaby wykrycie HB_cAg metodą immunofluorescencyjną. Może zastosowanie metod immunoperoksydazowych łącznie z ostatnio preferowaną techniką peroksydaza—antyperoksydaza (PAP) rozwiąże ten problem (14, 15). Wydaje się celowe prowadzenie dalszych badań nad możliwością wykrywania HB_cAg w wycinkach zatapianych w parafinie, gdyż może to wnieść wiele cennych informacji do rutynowej diagnostyki biopunktatów wątroby i pomóc w ocenie ciężkości schorzenia. Przedstawiona ocena obecności, ilości i rozmieszczenia HB_cAg opiera się na wynikach badań ultrastrukturalnych. Za pomocą tej metody można uzyskać dokładne informacje o ilości i rozmieszczeniu HB_cAg, lecz nie zawsze metoda ta jest możliwa do zastosowania w badaniach rutynowych.

Podobnie jak w ocenie HB_cAg, najbardziej dokładne i precyzyjne informacje o obecności HB_sAg uzyskano przy pomocy badania ultrastrukturalnego biopunktatów wątroby. Należy także podkreślić wartość barwienia orceiną. Wyniki uzyskiwane tą metodą są zgodnie z otrzymywanymi metodą immunofluorescencyjną na skrawkach parafinowych. Zatem wartość obu metod jest zbliżona, jednak metoda orceinowa — łatwiejsza do wykonania. Barwienie orceiną, według Shikata, można uznać za metodę z wyboru dla oceny HB_sAg w rutynowo badanych biopunktach wątroby, a istniejące doniesienia o niektórych fałszywie pozytywnych odczynach orceinowych (10, 16) nie umniejszają wartości tej metody, gdyż te fałszywie pozytywne reakcje są zazwyczaj łatwe do odróżnienia od wybarwionych typowo złogów HB_sAg. Jednak tzw. „minimalny” lub wątpliwie dodatni odczyn orceinowy wymaga zawsze korelacji z danymi klinicznymi i serologicznymi (16), a czasem wykonania kontrolnych biopsji wątroby. Z pewnością dodatni odczyn orceinowy wiąże się z dużym nagromadzeniem HB_sAg w cytoplazmie hepatocytu, a niewielkie ilości antygeny nie są tą metodą wykrywane. Należy podkreślić możliwość wykrycia barwieniem orceiną HB_sAg w hepatocytach ulegających martwicy lub we fragmentach obumarłych hepatocytów. W badanym materiale obserwowano to w 1 przypadku, a badanie ultrastrukturalne potwierdziło tę lokalizację HB_sAg, w 2 przypadkach wykazano

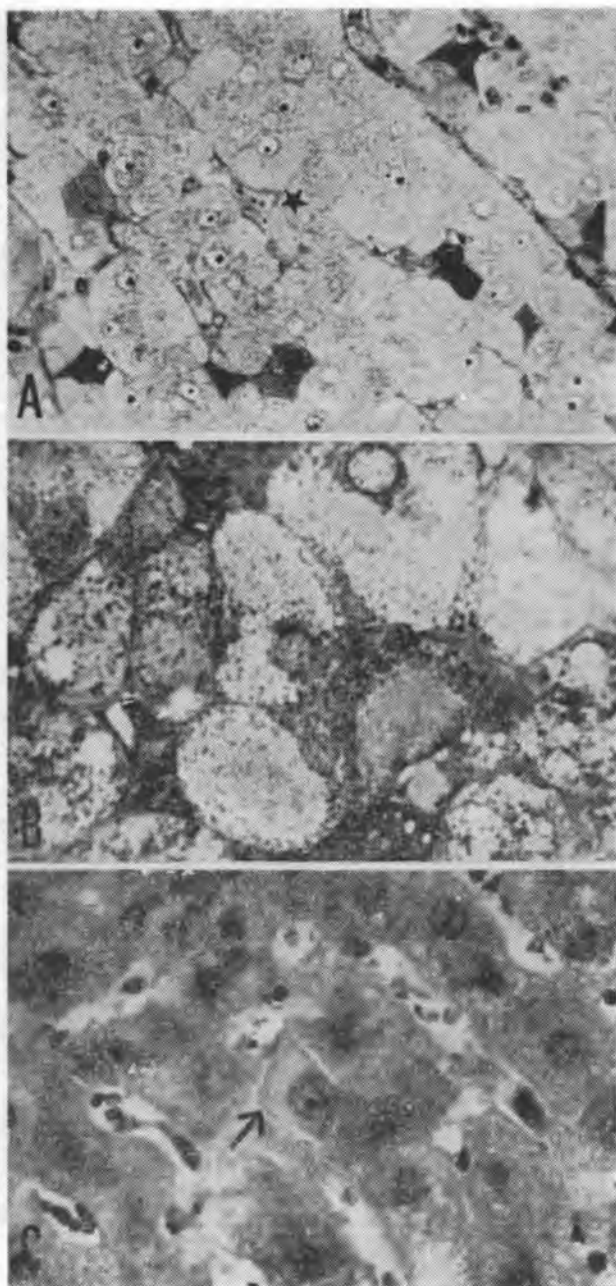
nieznaczne podbarwienie się orceiną błon komórkowych hepatocytów od strony zatok, a także przestrzeni międzykomórkowych.

Nie spotkaliśmy w dostępnym piśmiennictwie ani opisów, ani zdjęć świadczących o podobnych wynikach barwienia orceiną. Wprawdzie *Nayak i Sachdeva* (9) wspominają o możliwości lokalizacji orceinowo pozytywnych struktur fibrylarnych, odpowiadających HB_sAg wokół brzegów zatokowych hepatocytów, to jednak nie wspominają o podobnych obrazach lokalizacji HB_sAg od strony przestrzeni międzykomórkowej. *Sakurai i Miyaji* (13) uważają zaś, że podbarwienie się orceiną błony komórkowej bieguna naczyniowego hepatocytu nie jest związane z obecnością HB_sAg. Powszechnie akceptowanym poglądem jest brak możliwości wykazania lokalizacji błoniastej HB_sAg w oparciu o barwienie orceiną. Prawdopodobnie utrwalanie w formalinie utrudnia wykrycie HB_sAg w błonie komórkowej hepatocytu (5). Większość autorów ocenia błoniastą lokalizację HB_sAg jedynie na podstawie wyników badań immunofluorescencyjnych i immunoperoksydazowych wykonywanych na skrawkach mrożeniowych. Lokalizacja HB_sAg w błonie komórkowej hepatocytu została potwierdzona badaniem ultrastrukturalnym przez *Gudata i Bianchiego* (cyt. za 15). *Yamada i wsp.* (20) obserwowali zaś ultrastrukturalnie kompleksy HB_sAg z surowicą anti-HB_s wyznakowane peroksydazą wzdłuż brzegów zatokowych hepatocytów i w przestrzeniach międzykomórkowych. *Krawczyński* opowiada się zdecydowanie za brakiem ultrastrukturalnego odpowiednika lokalizacji HB_sAg w błonie komórkowej hepatocytu na podstawie badań doświadczalnych infekcji HBV u szympanów (cyt. za 14). Uzyskane wyniki wymagają potwierdzenia przez dodatkową ocenę obrazów immunofluorescencyjnych w skrawkach mrożonych i parafinowych w korelacji z barwieniem orceinowym.

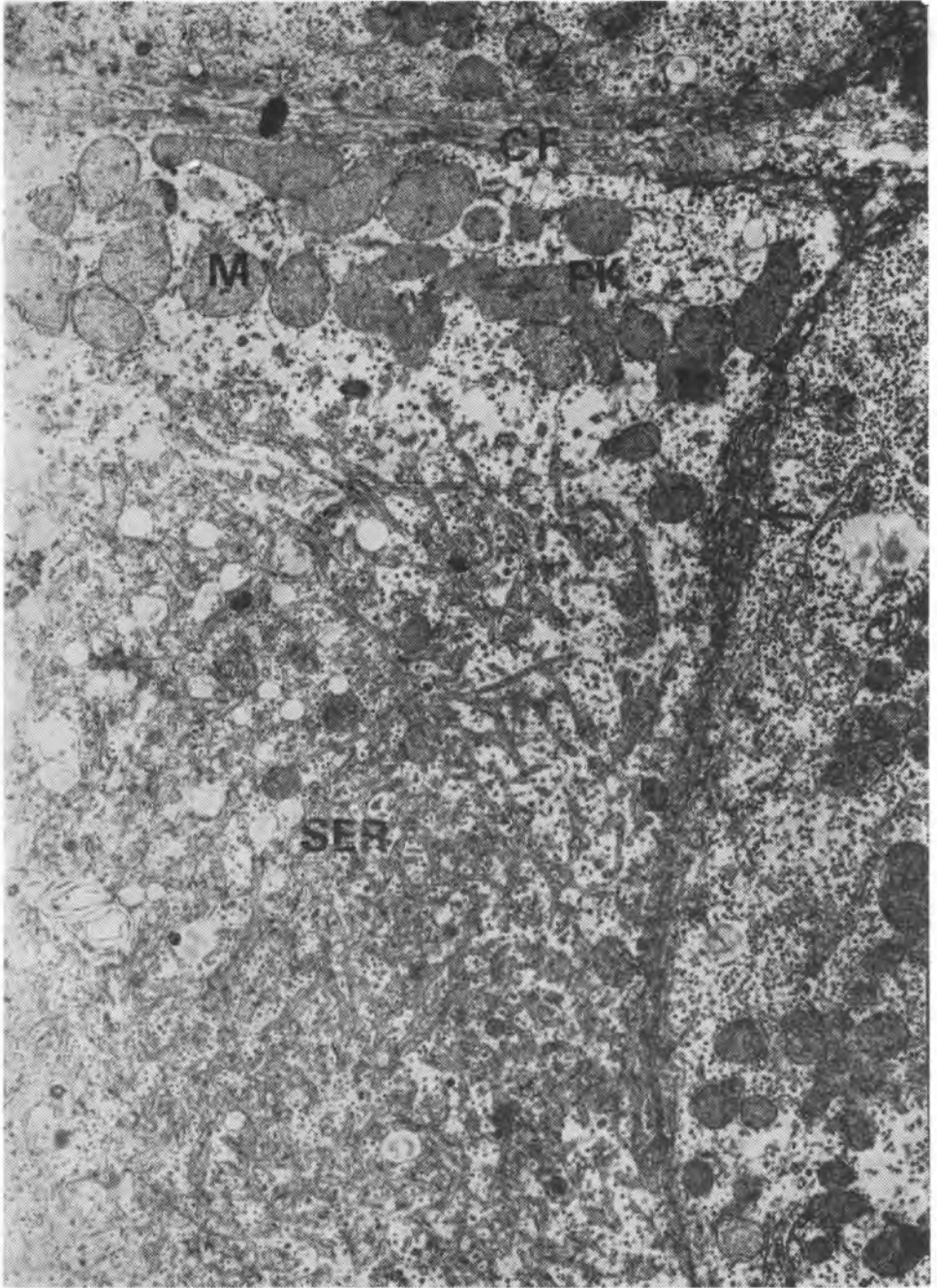
Wartość metod immunofluorescencyjnych wykonywanych na skrawkach parafinowych obniża autofluorescencja, której w znacznym stopniu zapobiega trawienie skrawków pronazą. Wydaje się jednak słuszny wniosek, jaki wysunęli *Nayak i Sachdeva* (9), że metoda barwienia orceiną daje pewniejsze rezultaty w ocenie HB_sAg niż metody immunofluorescencyjne stosowane na skrawkach parafinowych. Świadczyć o tym mogą także wyniki *Bardadina i Kobuszewskiej-Farynowej* (1), którzy metodą orceinową i immunofluorescencyjną w skrawkach mrożeniowych uzyskali potwierdzenie obecności HB_sAg w przypadkach raka pierwotnego wątroby. Natomiast zastosowanie w tych przypadkach metod immunofluorescencyjnych na skrawkach parafinowych nie dało pozytywnych rezultatów. Wyniki naszych badań przemawiają za możliwością wykrycia HB_sAg bezpośrednimi metodami immunofluorescencyjnymi także w preparatach parafinowych, niezależnie od zastosowa-



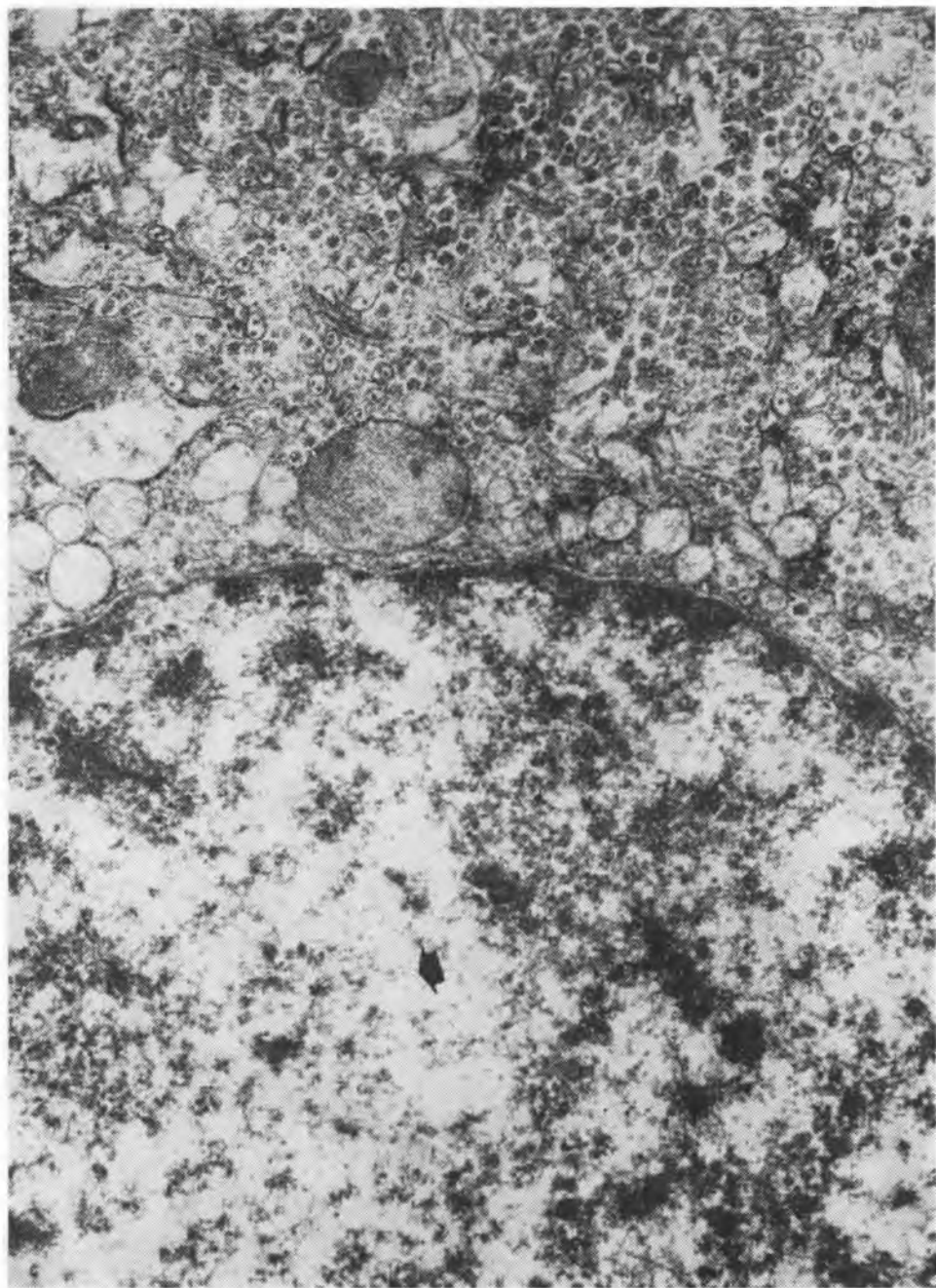
Ryc. 1



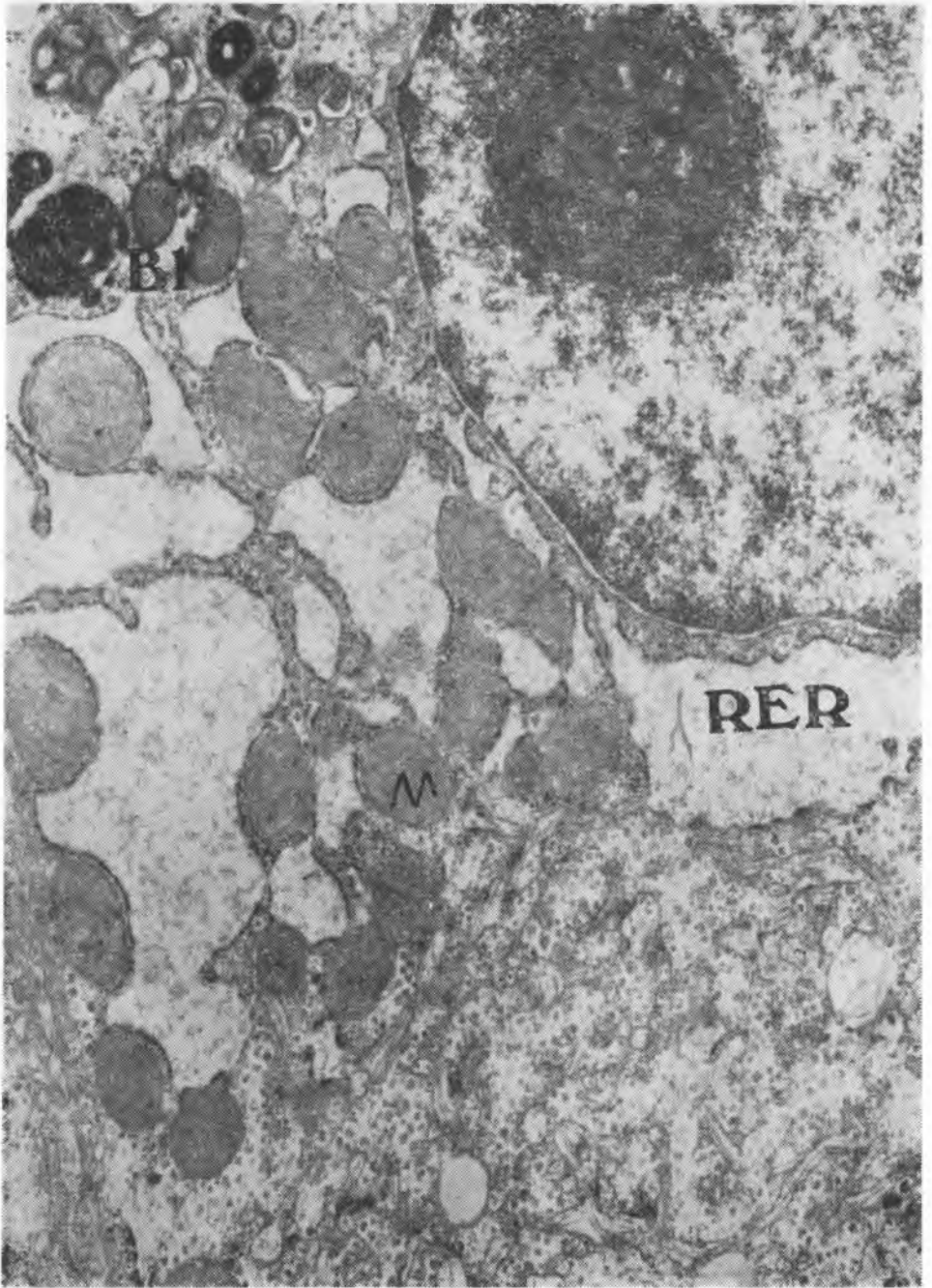
Ryc. 2



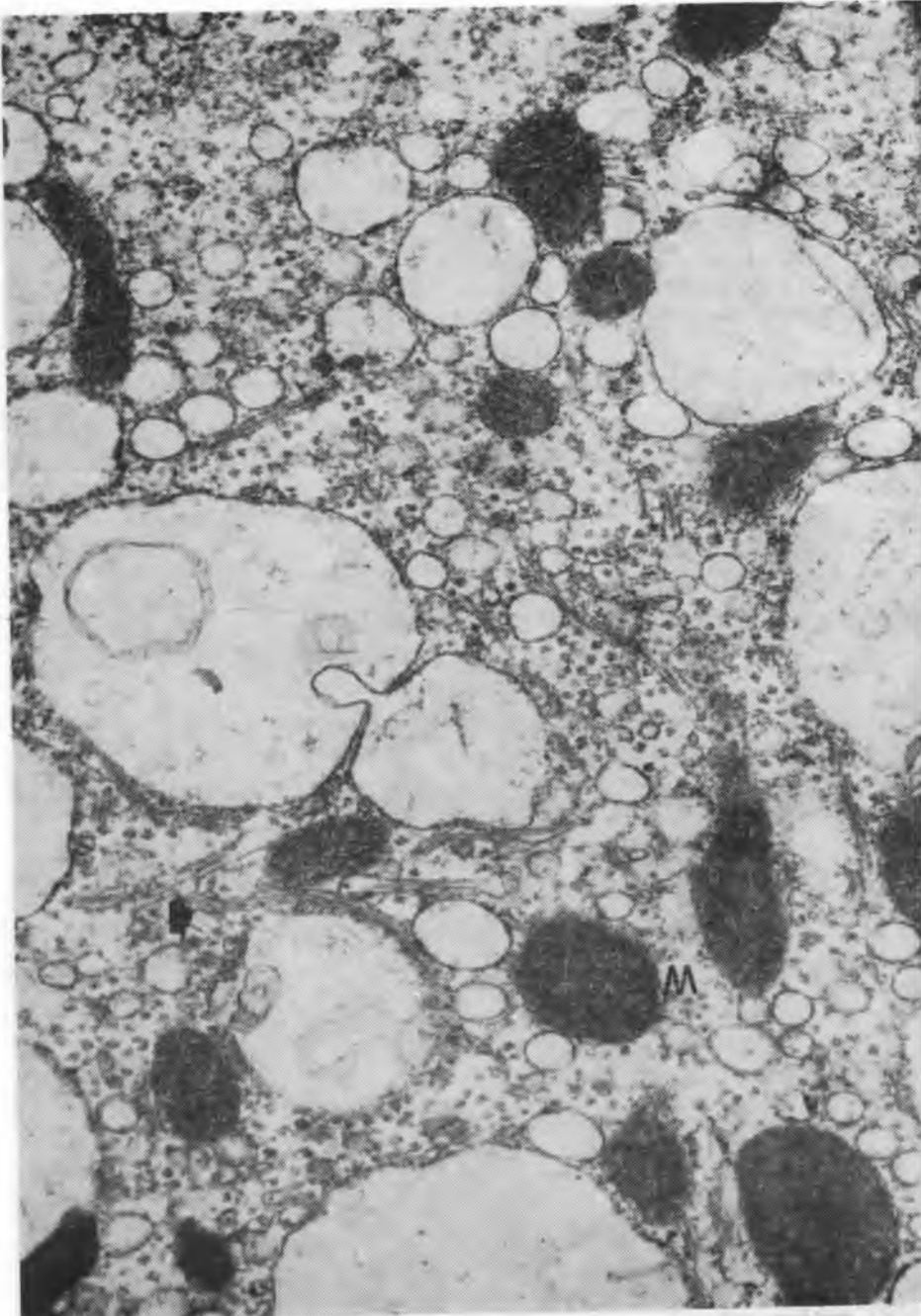
Ryc. 3



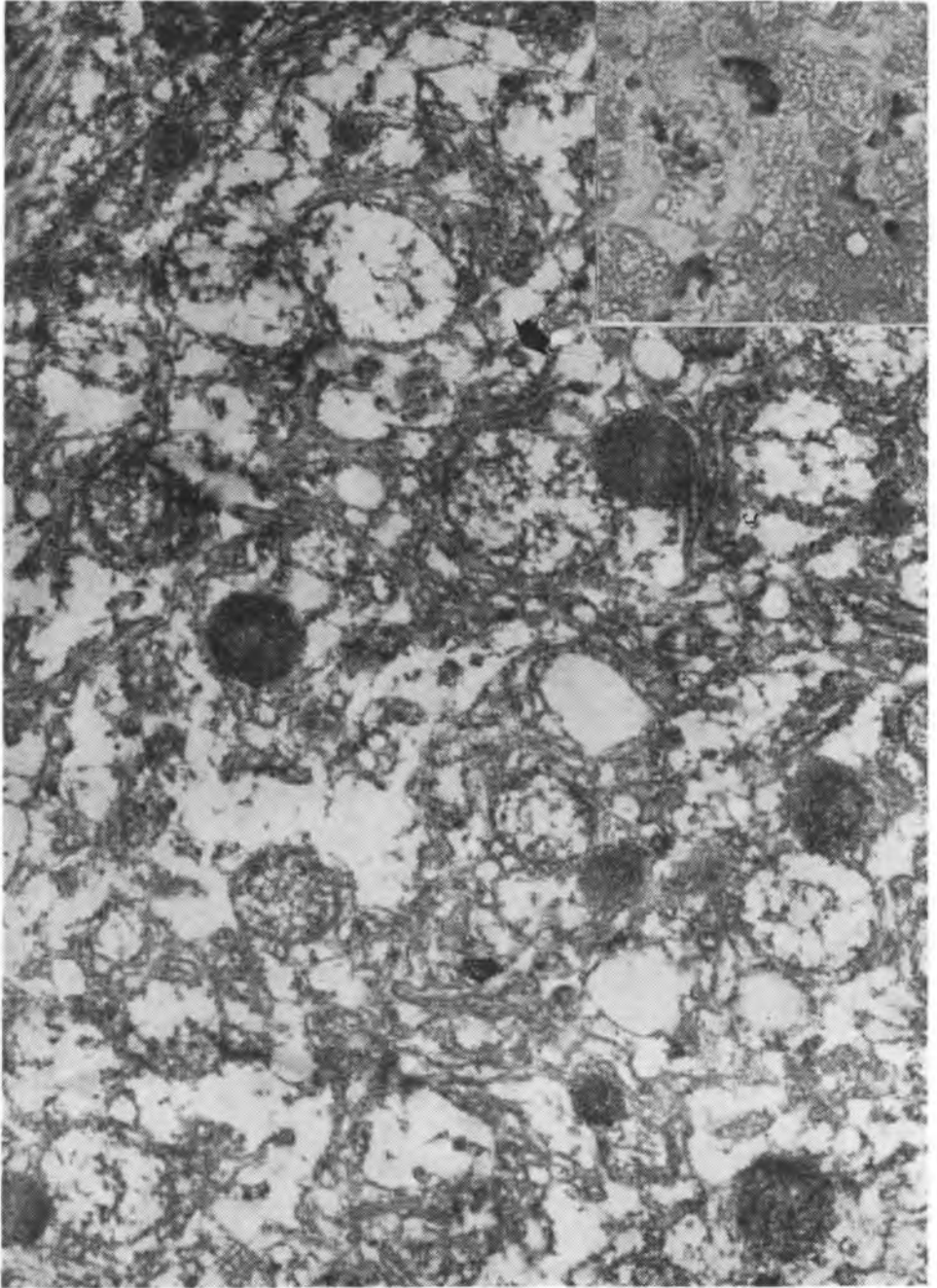
Ryc. 4



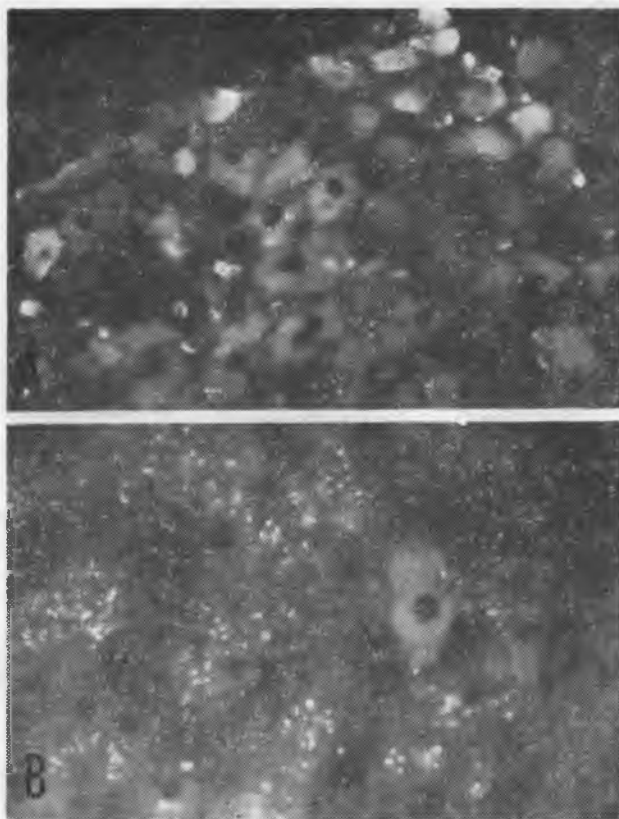
Ryc. 5



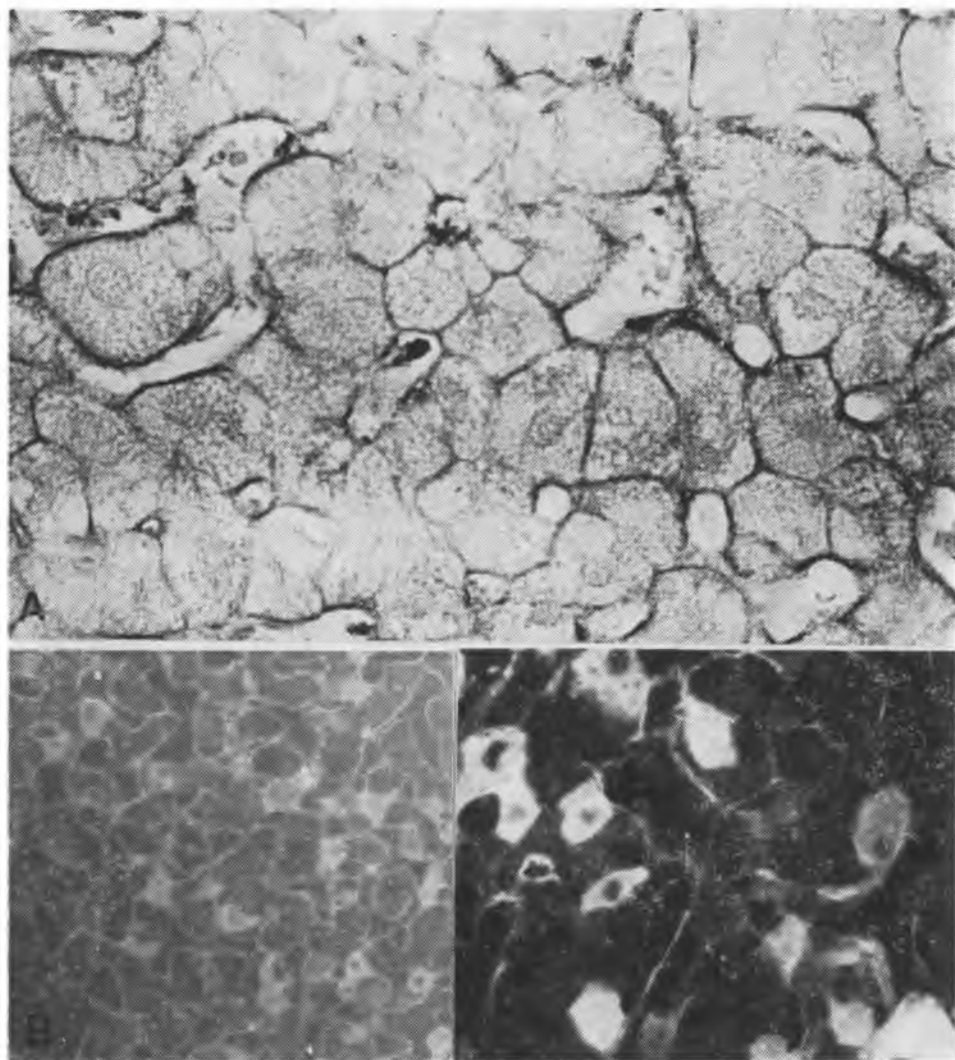
Ryc. 6



Ryc. 7



Ryc. 8

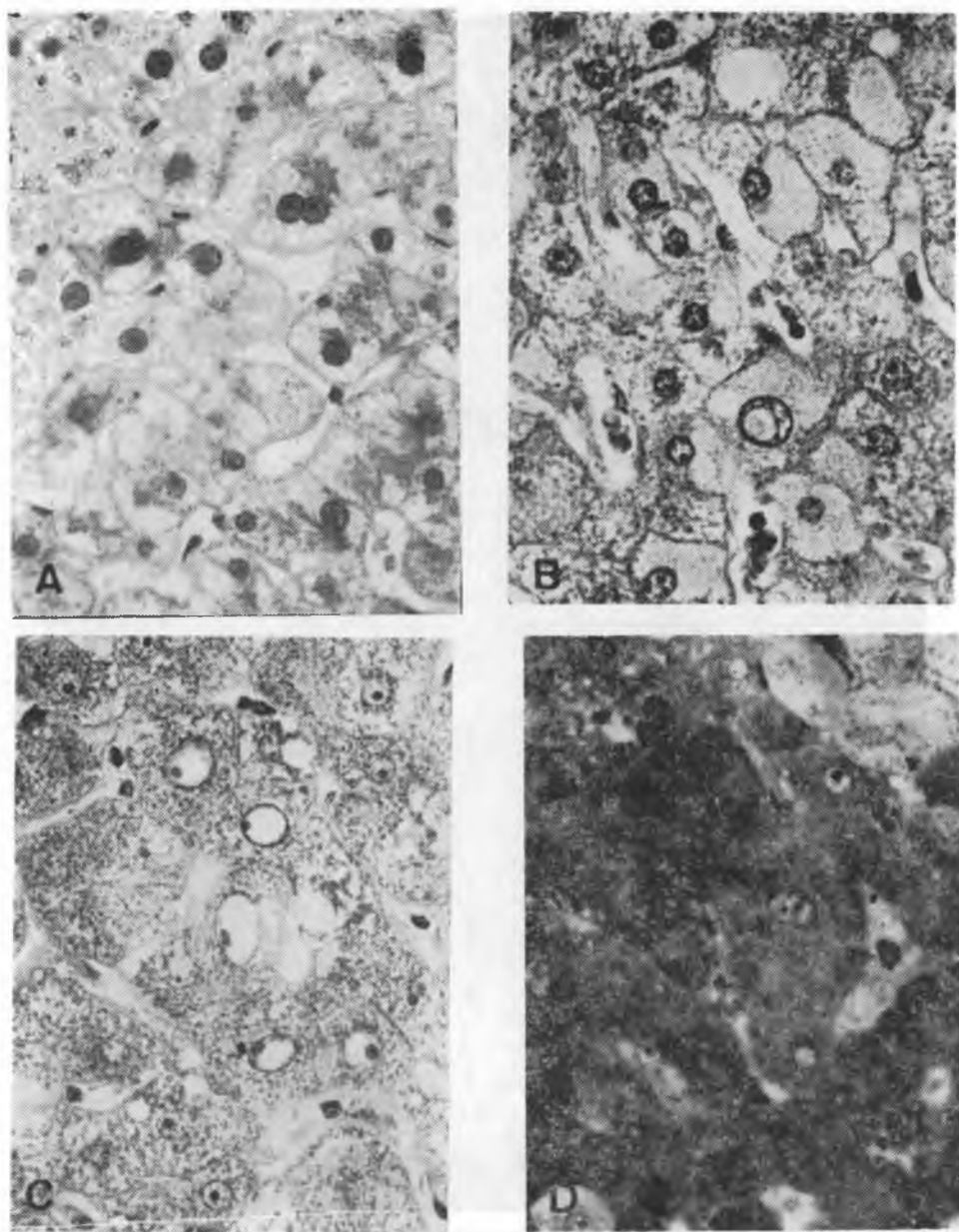


Ryc. 9

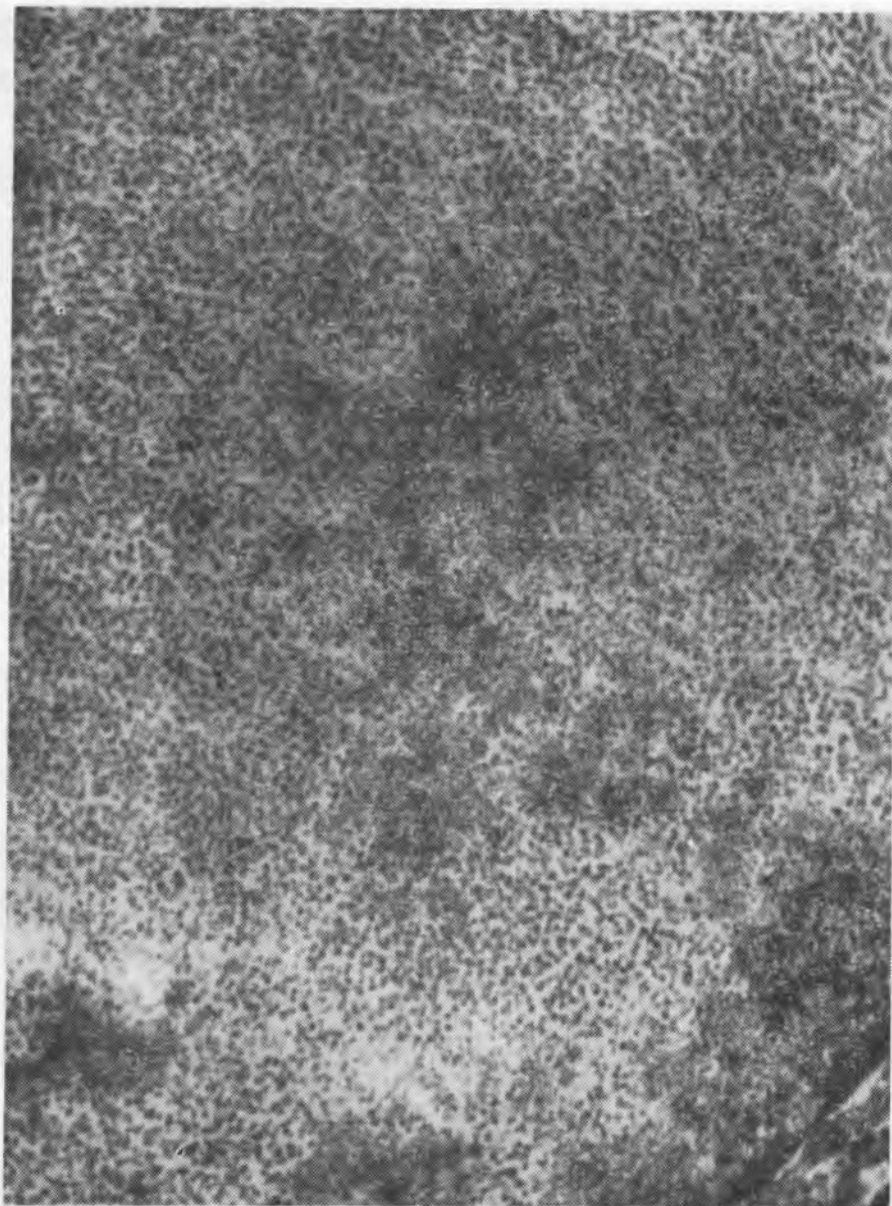


Ryc. 10

D. Chibowski, Z. Siezieniewska, L. Banach, B. Niedziółka



Ryc. 11



Ryc. 12

nia pronazy. Brak dodatniego odczynu immunofluorescencyjnego ze znakowanymi FITC przeciwciałami anty-HB_s w obu przypadkach kontrolnych nie zawierających HB_sAg przemawia za tym, że uzyskane odczyny immunofluorescencyjne były specyficzne dla HB_sAg.

Ocena obecności HB_sAg na podstawie barwliwości GG cytoplazmy hepatocytów jest przedmiotem wielu sprzecznych doniesień. Większość autorów uważa, że taki obraz cytoplazmy hepatocytu jest jedynie układnikiem proliferacji SER, w której kanałach może się znajdować, lecz nie zawsze jest obecny, HB_sAg (7, 9, 19, 20). Przemawia za tym fakt, że hepatocyty GG są spostrzegane rzadziej, niż wskazuje na to wykrywanie HB_sAg innymi metodami. Innym skrajnym poglądem jest uznawanie obrazu GG jako bezwzględnie charakterystycznego dla obecności HB_sAg w cytoplazmie hepatocytu (5). Zwraca się uwagę, że istnieją duże trudności w wyborze „prawdziwego” hepatocytu GG. Na podstawie porównania barwliwości GG w barwieniu H+E z barwieniem orceiną, a także konfrontacji badania ultrastrukturalnego hepatocytów zidentyfikowanych jako hepatocyty GG w preparatach półcienkich, stwierdzono, że hepatocyt oceniany jako GG nie zawsze zawiera HB_sAg, choć czasem obfituje w ten antygen. Natomiast HB_sAg bywa dość często obecny, nawet w dużych ilościach, w hepatocytach nie wykazujących obrazu GG. Istnienie tej ostatniej możliwości podkreśla także N a y a k i S a c h d e w a (9). Jak widać z tego, ocena obecności hepatocytów GG stanowi ważny, choć nie zawsze specyficzny, wskaźnik, świadczący o obecności HB_sAg w hepatocycie.

PIŚMIENNICTWO

1. Bardadin K., Kobuszewska-Faryna M.: HB_sAg położycielnyj gepatocelularnyj rak (patomorfolożiczeskije issledowanija). *Archiw Patoł.* **41**, 45, 1979.
2. Bartok I. i wsp.: Demonstration of Hepatitis B Surface Antigen by Orcein Staining in Paraffin Sections of Cirrhotic Liver. *Virch. Arch.* **A369**, 238, 1976.
3. Bianchi L., Gudat F.: "Sanded" Nuclei in Hepatitis B. Eosinophilic Inclusion in Liver All Nuclei Due to Excess in Hepatitis B Core Formation. *Lab. Invest.* **35**, 1, 1976.
4. Biczysko W. i wsp.: Badania porównawcze świetlno- i elektronomikroskopowe hepatocytów replikujących wirusy hepatitis B. *Pat. Pol.* **30**, 11, 1979.
5. Camilleri J. i wsp.: Immunochemical Patterns of Hepatitis B Surface Antigen (HB_sAg) in Patients with Hepatitis, Renal Homografts Recipients and Normal Carriers. *Virch. Arch.* **A376**, 329, 1977.
6. Chibowski D. i wsp.: Ocena występowania i rozmieszczenia antygeny powierzchni hepatitis B (HB_sAg), wykrywanego metodą Shikata w materiale biopiecznym wątroby ZAP AM w Lublinie w latach 1975—1978. *Pat. Pol.* **31**, 357, 1980.

7. Mironow T., Saliew F.: Morfologiczeskije osobiennosti „ground glass” гепа-
tocyтow pri chroniczeskom гепатитe i cirrozie печени. *Archiw Patol.* **3**, 50,
1978.
8. Murphy R. i wsp.: Immunofluorescent Localisation of Hepatitis B in
Chimpanzee Tissues. *Intervirology* **6** (4—5), 297, 1975—1976.
9. Nayak N., Sachdeva R.: Localisation of Hepatitis B Surface Antigen in
Conventional Paraffin Section of the Liver. Comparison of Immunofluorescence,
Immunoperoxidase and Orcein Staining Methods with Regard to Their Speci-
ficity and Reliability as Antigen Marker. *Amer. J. Path.* **81**, 479, 1975
10. Nicola D. i wsp.: Detection of Hepatitis B Surface Antigen by Means of
Orcein Staining of Liver. *Amer. J. Clin. Path.* **7**, 20, 1977.
11. Ray M., Desmet V.: Immunofluorescent Detection of Hepatitis B Antigen
in Paraffin Embedded Liver Tissue. *J. Immunol. Meth.* **6**, 283, 1975.
12. Rizetto M. i wsp.: Complement Fixing Hepatitis B Core Antigen Immune
Complexes in the Liver of Patients with HB_sAntigen Positive Chronic Disease.
Gut **17**, 837, 1976.
13. Sakurai M., Miyaji T.: Orcein Staining of Hepatitis B Surface Antigen
in Paraffin Sections of Liver on Autopsy Cases. *Acta Hepatogastroenterol.* **24**,
334, 1977.
14. Siezieniewska Z.: Badania ultrastrukturalne biopunktatów wątroby z do-
datnim histochemicznym odczynem na HB_sAg. Rozprawa doktorska. AM, Lub-
lin 1980.
15. Siezieniewska Z., Chibowski D.: Badania ultrastrukturalne bio-
punktatów wątroby pobranych od pacjentów z różnymi postaciami przewlek-
łego zakażenia wirusem hepatitis B (HBV). *Pat. Pol.* **34**, 1, 1983.
16. Sipponen P. i wsp.: Histological Characteristics of Chronic Hepatides and
Primary Biliary Cirrhosis with Special Reference to Orcein Positive Hepato-
cellular Acumulations. *Ann. Clin. Res.* **8**, 200, 1976.
17. Sumihtram S.: Methods for Detection of Hepatitis B Surface Antigen in
Paraffin Sections of Liver: a Guideline for Their Use. *J. Clin. Path.* **30**, 460,
1977.
18. Sun S. i wsp.: Serial Liver Biopsy Observations in Hepatitis B Antigen
Carriers by Light and Electron Microscopy. *Amer. J. Dig. Dis.* **21**, 366, 1976.
19. Yamada G. i wsp.: Hepatitis B. Cytologic Localisation of Virus Antigens
and the Role of the Immune Response. *Human Path.* **9**, 93, 1978.
20. Yamada G., Nakane P.: Hepatitis B Core and Surface Antigens in Liver
Tissues. Light and Electron Microscopic Localisation by Peroxidase-labelled
Antibody Method. *Lab. Invest.* **36**, 649, 1977.

Otrzymano 15 III 1984.

OPIS RYCIN

Ryc. 1. A i B — Wybarwiająca się orceiną hepatocyty tworzą duże skupienia. Charakterystyczna różna intensywność wybarwienia się złogów. C — W niektórych hepatocytach złogi HB_sAg wykazują typową strukturę ziarnistą. Widoczna jest ona wyraźniej w złogach wybarwionych z mniejszą intensywnością. Barwienie orceiną wg Shikata. Pow. A — 250×, B — 700×, C — 600×.

Ryc. 2. A — Cytoplazma hepatocytu posiada barwliwość GG (gwiazdka). Obecnie także dość liczne hepatocyty „kwasochłonne”. B — Skupisko kilku hepatocytów GG z wyraźnym przemieszczeniem jądra i organelli cytoplazmy na obrzeża komórki. Eponowe preparaty półcienkie. Barwienie błękitem metylenowym i Azurem II. C — Tylko część cytoplazmy hepatocytu wykazuje barwliwość GG (strzałka). Barwienie H+E. Pow. A — 450×, B — 700×, C — 500×.

Ryc. 3. Typowy obraz ultrastrukturalny hepatocytu GG zawierającego HB_sAg w świetle licznych kanałów SER. Mitochondria przesunięte na obwód komórki. Nieliczne mitochondria (M) zawierają w macierzy ciała parakrystaliczne (PK). Poszerzone przestrzenie międzykomórkowe wykazują odcinkowe zwielokrotnienia błon komórkowych (strzałka) i włókienka kolagenowe (CF). Pow. 9000×.

Ryc. 4. Równoczesne występowanie licznych cząstek HB_sAg i nielicznych cząstek HB_eAg (strzałka) w tym samym hepatocycie. Pow. 30 000×.

Ryc. 5. Większa część cytoplazmy hepatocytu wykazuje obraz GG przedstawiony na ryc. 3. Strefę przyjądrową zajmują znacznie poszerzone kanały RER, wypełnione kłaczkowatym materiałem białkowym. W tej części hepatocytu znajdują się również złogi bilirubiny (Bl) i mitochondria (M) o prawidłowym wyglądzie. Pow. 18 000×.

Ryc. 6. W hepatocycie o cechach zwyrodnienia „balonowatego” obecne nieliczne tubularne cząstki HB_sAg w kanałach SER (strzałka). Kanały SER, zawierające ten antygen, nie są poszerzone. Mitochondria (M), o zagęszczonej macierzy, wykazują prawidłowy obraz grzebieni i błon. Pow. 30 000×.

Ryc. 7. Hepatocyt w stanie martwicy. Wśród resztek kanałów SER widoczne poprzeczne i podłużne przekroje HB_sAg (strzałki). Pow. 18 000×. W s t a w k a: dodatni odczyn orceinowy w resztkach obumarłych hepatocytów i cytoplazmie komórki Browicza-Kupffera. Barwienie orceiną według Shikata. Pow. 500×.

Ryc. 8. A — Dodatni immunofluorescencyjny odczyn na HB_sAg w licznych hepatocytach. Skrawki parafinowe trawione pronazą. Barwienie anty-HB_s-FITC. B — Dodatni immunofluorescencyjny odczyn na HB_sAg w pojedynczym hepatocycie. Widoczna także autofluorescencja ziaren lipofuscyny. Skrawki parafinowe nie trawione pronazą. Barwienie anty-HB_s-FITC. Pow. A i B — 500×.

Ryc. 9. A — Dodatni odczyn orceinowy w błonach komórkowych hepatocytów od strony zatoki wątrobowej i przestrzeni międzykomórkowej. Barwienie orceiną według Shikata. B i C — Dodatni immunofluorescencyjny odczyn na HB_sAg w cytoplazmie i błonach komórkowych hepatocytów. Skrawki parafinowe trawione pronazą. Pow. A — 600×, B — 450×, C — 600×.

Ryc. 10. Podłużna cząstka o średnicy ok. 22 mm, mogąca odpowiadać postaci tubularnej HB_sAg, znajduje się w przestrzeni międzykomórkowej (strzałka). Cytoplazma jednego z hepatocytów zawiera liczne cząstki HB_sAg. Pow. 51 000×.

Ryc. 11. A — Jądra kilku hepatocytów powiększone, hiperchromatyczne. Obecny także hepatocyt dwujądrowy. Barwienie H+E. B — Cytoplazma kilku hepatocytów wykazuje obraz GG. Jądro jednego z hepatocytów zawiera wakuolę barwiącą się identycznie jak cytoplazma tego hepatocytu (wakuola jądrowa o barwliwości GG). Barwienie H+E. C — W kilku hepatocytach jasna, nie wybarwiona wakuola obejmuje prawie całą karioplazmę. Chromatyna i jąderko są zepchnięte ku otoczce jądra (tzw. „jądra opustoszone”). Eponowy skrawek półcienki. Barwienie błękitem metylenowym i Azurem II. D — W jądrze jednego hepatocytu obecna mała wakuola barwiąca się jak cytoplazma hepatocytu GG (gwiazdka). Cytoplazma tego hepatocytu nie posiada obrazu GG. Eponowy skrawek półcienki. Barwienie błękitem metylenowym i Azurem II. Pow. A, B, C i D — 500×.

Рис. 12. Liczne, całkowicie wybarwiające się, cząstki HB_sAg zajmują prawie całe jądro hepatocyту. Chromatyna jądra tworzy małe skupienia lub zagęszcza się wokół otoczki jądrowej. Pow. 30 000X.

РЕЗЮМЕ

Произведена оценка присутствия HB_sAg и HB_cAg в 25 биопунктах печени на основании окраски: гематоксилин — эозин, методом Shikata, прямого иммунофлюоресценциального метода в парафиновых срезах, а также в полутонких срезах при помощи светового микроскопа и ультраструктурального исследования. Присутствия HB_cAg, при помощи примененного иммунофлюоресценциального метода в парафиновых срезах, не обнаружено; хотя ультраструктуральным исследованием в этих биопунктах HB_cAg было выявлено. В полутонких и парафиновых срезах, окрашенных гематоксилин—эозин, не обнаружено также патогномических изменений в ядрах гепатоцитов, характерных для присутствия HB_cAg. Окраска орцеином показала, что не все гепатоциты GG окрашиваются орцеином, и не все окрашенные орцеином гепатоциты имеют свойство GG в окраске гематоксилин—эозин. Свойство окраски GG цитоплазмы указывает лишь на размножение SER в каналах, но не всегда при этом присутствует HB_sAg, о чем свидетельствуют результаты наших ультраструктурных исследований. Метод окраски орцеином дает более достоверные результаты в оценке присутствия HB_sAg, чем иммунофлюоресценциальный метод примененный на парафиновых срезах. Хотя наиболее точную оценку присутствия HB_sAg получаем на основании ультраструктурального исследования, можно, однако, окраску орцеином считать за достаточную для опытной оценки HB_sAg в биопунктах печени.

S U M M A R Y

The presence of antigens HB_sAg and HB_cAg was estimated by means of: H+E staining, Shikata's method, direct immunofluorescence method on paraffin-embedded specimens, estimation of semithin specimens in light microscope, and ultrastructural studies. No evidence was found of the presence of HB_cAg in paraffin-embedded specimens using immunofluorescence methods in spite of the ultrastructural presence of HB_cAg in these cases. Moreover, there were no pathognomic features of HB_cAg within hepatocyte nuclei staining H+E and in the semithin epon-embedded specimens. The orcein staining proved that not every GG hepatocyte showed orcein-positive reaction and that not every orcein-positive hepatocyte showed GG picture in the H+E staining. The GG picture of hepatocytes indicates only proliferation of SER, where HB_sAg may be present within its canals but not in every case, which was observed in electron microscope. The orcein staining method gives more certain results in HB_sAg estimation than in the immunofluorescence methods of paraffin-embedded specimens. However, the most precise estimation of the presence of HB_sAg is possible on the basis of ultrastructural studies but the orcein staining may be quite a sufficient method for routine estimation of HB_sAg in liver biopsy specimens.

EXPLANATION TO FIGURES

Fig. 1. A and B — The orcein positive hepatocytes forming big concentrations. The characteristic feature is a different stain intensity of deposits. C — The typical granular structure of the HB_sAg deposits within some hepatocytes. The granular structure is more marked within deposits stained with minor intensity. Orcein stain of Shikata. Magn. A — 250×, B — 700×, C — 600×.

Fig. 2. A — The cytoplasm of some hepatocytes displays GG picture (asterisk). Numerous "eosinophilic" hepatocytes are also present. B — Semithin epon embedded specimen. Methyl blue and Azur II stain. B — The concentration of GG hepatocytes with marked dislocation of nucleus and other organelles to the margin of the cell. Semithin epon embedded specimen. Methyl blue and Azur II stain. C — GG picture displays only part of cytoplasm of a hepatocytes. H+E stain. Magn. A — 450×, B — 700×, C — 500×.

Fig. 3. The typical ultrastructural picture of GG hepatocyte containing HB_sAg within canals of SER. The mitochondria are dislocated to the margin of the cell. Some mitochondria (M) display paracrystal bodies (PK) within matrix. Dilated intercellular spaces show segmental manifolds of the cell basement membranes (arrow) and collagen fibres (CF). Magn. 9000×.

Fig. 4. Simultaneous presence of many HB_sAg particles within cytoplasm and not many HB_sAg particles (arrow) within nucleus of the same hepatocyte. Magn. 30,000×.

Fig. 5. The GG picture displays the bigger part of the hepatocyte cytoplasm showed in Fig. 3. Dilated canals of RER filled with protein fluffy material are present in the perinucleous zone. There are also bilirubin deposits (Bl) and normal mitochondria (M) in this part of hepatocyte cytoplasm. Magn. 18,000×.

Fig. 6. The "balloon" degeneration of the hepatocyte and not many tubular HB_sAg particles are present within canals of SER (arrow). These canals are not dilated. Mitochondria (M) with condensed matrix have normal cristae and membranes. Magn. 30,000×.

Fig. 7. Necrosis of the hepatocyte. Within residue of the SER there are cross and longitudinal section of HB_sAg particles (arrow). Magn. 18,000×. Insert: the orcein positive reaction of residue necrotic hepatocytes and cytoplasm of Brownish-Kupffer cell. Shikata orcein stain. Magn. 500×.

Fig. 8. A — Immunofluorescence positive reaction of HB_sAg within many hepatocytes. Paraffin embedded section digested with pronase. Anti-HB_s-FITC stain. B — Immunofluorescence positive reaction of HB_sAg in one hepatocyte. Autofluorescence of lipofuscin granules is also visible. Paraffin embedded section not digested with pronase. Anti-HB_s-FITC stain. Magn. A and B — 500×.

Fig. 9. A — The orcein positive reaction of the cell membranes of hepatocytes adjacent to the sinusoid and intercellular space. Orcein stain of Shikata. B and C — Immunofluorescence positive reaction of HB_sAg within the cell membranes of the hepatocytes. Paraffin embedded section digested with pronase. Anti-HB_s-FITC stain. Magn. A — 600×, B — 450×, C — 600×.

Fig. 10. The long particle about 22 nm in diameter which can represent tubular pattern of HB_sAg is present within intercellular space (arrow). The cytoplasm of one hepatocyte displays numerous HB_sAg particles. Magn. 51,000×.

Fig. 11. A — The enlarged, hiperchromatic nuclei of some hepatocytes. A

binucleus hepatocyte is also present. H+E stain. B — Cytoplasm of some hepatocytes is displayed in GG picture. The nucleus of one hepatocyte contains a vacuole staining just like the cytoplasm of some hepatocyte (nucleus vacuole with GG picture) H+E stain. C — A clear unstained vacuole within entire cytoplasm. The chromatin and nucleolus displaced to the margin of nucleus ("omission nucleus"). Epon embedded semithin specimen. Methyl blue and Azur II stain. D — A small vacuole within hepatocyte nucleus shows GG picture (asterisk). The cytoplasm of the hepatocyte does not display GG picture. Epon embedded semithin specimen. Methyl blue and Azur II stain. Magn. A, B, C and D — 500X.

Fig. 12. Many HB_eAg particles entirely staining within the whole hepatocyte nucleus. The nucleus chromatin forms small concentrations or condensations round the nucleus envelope. Magn. 30,000X.